



تعیین ویژگیهای دزیمتري چشمehای برآکی تراپی کم انرژی بر اساس دستور کار TG-43U1 با روش‌های مختلف محاسبه دز در کد MCNP

غلامرضا رئیس علی^{*}، فربیا مخلص گرامی^۱، رضا خدادادی^۲، بهناز پیروزفر^۳

۱- مرکز تحقیقات کشاورزی و پردازشی هسته‌ای، سازمان انرژی اتمی ایران، صندوق پستی: ۴۸۹-۳۱۴۸۵، کرج - ایران

۲- امور اینمی هسته‌ای کشور، سازمان انرژی اتمی ایران، صندوق پستی: ۱۳۳۹-۱۴۱۵۵، تهران - ایران

۳- امور حفاظت در برابر اشعه، سازمان انرژی اتمی ایران، صندوق پستی: ۴۴۹۴-۱۴۱۵۵، تهران - ایران

چکیده: مرکز تحقیقات کشاورزی و پردازشی هسته‌ای سازمان انرژی اتمی ایران، با توجه به کاربرد روزافروزن چشمehای کم انرژی ^{125}I و ^{103}Pd در برآکی تراپی سرطان پروستات، ساخت اینگونه چشمehا را در دستور کار خود قرار داده است. لذا در این تحقیق بر آن شدیدم تا با محاسبات دزیمتري منطبق با دستور کار TG-43U1 به روش مونت کارلو به وسیله کد MCNP برای چشمehای مشابه چشمehای در دست تولید و مقایسه آن با محاسبات انجام شده در مقاله‌ها و گزارش‌های علمی، مقدمات مشخصه یابی دزیمتري این چشمehا را فراهم کنیم. این محاسبات با بهره‌گیری از روش‌های متفاوت محاسبه دز (تالی‌های F4، F6، *F8) انجام شده است. نتایج به دست آمده با در نظر گرفتن دقت و سرعت محاسبات، مقایسه شده‌اند و در اکثر موارد، نتایج هر سه روش با نتایج مرجع مقایسه در توافق خوبی بوده‌اند. همچنین در این تحقیق مشخص شد که نتایج بدست آمده از تالی F6، حدود ۲۰ برابر سریعتر از تالی *F8 است که این نتیجه را می‌توان در محاسبات متعدد لازم در طراحی چشمehای برآکی تراپی، مورد استفاده قرار داد.

واژه‌های کلیدی: برآکی تراپی، MCNP، دستور کار TG-43U1، محاسبات دز، ^{125}I ، ^{103}Pd ، پروستات، روش مونت کارلو، کدهای کامپیوتروی

Determination of Dosimetry Parameters for Low Energy Brachytherapy Sources Based on TG-43U1 Protocol Using Different MCNP Tallies

G. Raisali^۱, F. Mokhles Gerami^۲, R. Khodadadi^۳, B. Piroozfar^۳

۱- Nuclear Research Center for Agriculture and Medicine, AEOI, P.O. Box: 31485-489, Karaj - Iran

۲- National Nuclear Safety Department, AEOI, P.O. Box: 14155-1339, Tehran - Iran

۳- National Radiation Protection Department, AEOI, P.O. Box: 14155-4494, Tehran - Iran

Abstract: Application of low energy ^{125}I and ^{103}Pd sources in prostate cancer brachytherapy has been considerably increased, recently. Accordingly, the Nuclear Research Center for Agriculture and Medicine (NRCAM) has selected the production of ^{103}Pd source seeds and their characterization as one of its main objectives. In this investigation, we have calculated TG-43U1 dosimetry parameters for a source similar to the primary NRCAM design, using MCNP Monte Carlo computer code with F4, F6 and *F8 tallies. The results have been compared with the corresponding values reported in the literature and for most of the cases, all the three tallies and the reported values are in good agreement. It has been found that the F6 tally is about 20 times faster than *F8 tally without any considerable loss of accuracy. Therefore, it is concluded that for design analysis purposes, the F6 tally is adequately efficient to perform cumbersome recursive brachytherapy seed design calculations.

Keywords: brachytherapy, MCNP, TG-43U1 protocol, dose calculations, ^{125}I , ^{103}Pd , prostate, Monte Carlo method, computer codes

*email: graisali@nrcam.org

تاریخ دریافت مقاله: ۱۰/۳/۱۳۸۴ | تاریخ پذیرش مقاله: ۳۰/۹/۱۳۸۴



۲- فرمول‌بندی محاسبات دز در دستور کار TG-43U1

دستور کار TG-43U1 بر اساس کمیت‌های اندازه‌گیری شده (یا قابل اندازه‌گیری) و جدا کردن (decouple) تعدادی از کمیت‌های وابسته به هم استوار است. فرمول‌بندی محاسبه دز در این دستور کار، در تباین با روش قدیمی که با استفاده از ثابت‌های نرخ پرتوگیری و ضرایب تضعیف بافت انجام می‌شد، نیاز به داده‌های ورودی شامل نرخ‌های دز چشمehای واقعی در فانتوم معادل بافت دارد. بطور سنتی نرخ دز ($D(r)$) در فاصله r از چشمeh درون شکاف (interstitial) براکی تراپی با استفاده از تقریب چشمeh نقطه‌ای حساب می‌شود [۷]:

$$\dot{D}(r) = A_{app.} f_{med}(\Gamma_\delta) \left(\frac{1}{r^2} \right) T(r) \Phi_{an} \quad (1)$$

که در آن $A_{app.}$ فعالیت چشمeh، f_{med} ضریب تبدیل پرتوگیری به دز، (Γ_δ) ثابت نرخ پرتوگیری برای رادیونوکلئید در چشمeh، $T(r)$ ضریب تضعیف بافت و Φ_{an} ثابت ناهمسانگردی است. در دستور کار TG-43U1 هر یک از کمیت‌های به کار رفته به منظور محاسبه نرخ دز برای نوع خاصی از چشمeh، اندازه‌گیری یا حساب می‌شود، بنابراین بستگی به ساختار و آرایش هندسی چشمeh، همچنین بیناب فوتون ورودی و محیط دارد. روش‌های سنتی بر پایه شارش فوتون حول چشمeh در فضای آزاد هستند که یکی از کاستیهای اساسی در این روش است، در حالیکه کاربردهای بالینی (کلینیکی) نیاز به توزیع دز در محیط پراکنده گر بدن بیمار دارند. فرمول‌بندی توصیه شده در این دستور کار، این نقص اساسی را با استفاده مستقیم از توزیع دز اندازه‌گیری شده (یا قابل اندازه‌گیری) که با قرار دادن چشمeh ای در محیط معادل آب ایجاد می‌شود، حل می‌کند.

در دستور کار TG-43U1 کمیت‌های جدیدی از جمله تابع ناهمسانگرد $F(r, \theta)$ ، ثابت نرخ دز Λ ، تابع آرایش هندسی $G(r, \theta)$ ، تابع دز شعاعی $(r)g$ و شدت کرمایی S_k به کار گرفته شده است. این کمیت‌ها به جای کمیت‌های روش سنتی به این صورت جایگزین می‌شوند:

۱- مقدمه

یکی از روش‌های درمان تومورهای بدخیم استفاده از پرتودهی نزدیک یا براکی تراپی است. در این روش با قراردادن چشمeh پرتوزا در مجاورت تومور برای به از بین بردن آن اقدام می‌شود. در مورد تومورهای کوچک مانند سرطان پروستات از کاشت دائم چشمeh کم انرژی مانند ^{110}Pd و ^{103}Pd درون تومور استفاده می‌شود [۱، ۲ و ۳]. با توجه به اینکه این نوع چشمeh کم انرژی به صورت دانه‌های استوانه‌ای شکل تولید می‌شوند و معمولاً میدان پرتو در اطراف آنها به میزان قابل توجهی ناهمسانگرد است، شناخت دقیق توزیع دز به منظور طراحی روش درمان، از اهمیت ویژه‌ای برخوردار است [۴، ۵ و ۶]. در این مورد انجمن فیزیک پزشکی آمریکا (AAPM) با تشکیل گروه کار شماره ۴۳ با بررسی دزیمتری این چشمeh دستور کار دزیمتری "TG-43U1" را توصیه کرده است. این دستور کار شامل فرمول‌بندی برای محاسبات دز و مجموعه داده‌های برای پارامترهای دزیمتری چشمeh براکی تراپی است [۷].

با توجه به اینکه مرکز تحقیقات کشاورزی و پژوهشی هسته‌ای سازمان انرژی اتمی ایران، ساخت چشمeh کم انرژی ^{103}Pd را در دستور کار خود دارد و انتظار می‌رود در آینده از این چشمeh برای درمان بیماران در کشور استفاده شود، بر آن شدید تا با انجام دادن محاسبات دزیمتری در مورد چشمeh ای مشابه چشمeh در دست تولید و مقایسه آن با نتایج موجود در مراجع، مقدمات مشخصه‌یابی دزیمتری این چشمeh را فراهم کنیم. برای این منظور از کد مونت کارلوی MCNP با در نظر گرفتن توصیه‌های دستور کار TG-43U1 استفاده شده است [۸]. از طرفی، در این مورد با توجه به طولانی بودن مدت محاسبات مونت کارلو، به منظور یافتن روشی سریعتر، سعی شده است با بهره‌گیری از روش‌های متفاوت محاسبه دز (تالی‌های مختلف در کد MCNP) نتایج به دست آمده از نظر دقت و سرعت محاسبات با یکدیگر مقایسه و ارزیابی شوند. در ادامه این مقاله، ابتدا بطور خلاصه به معرفی دستور کار TG-43U1 پرداخته شده، سپس فرض‌ها و روش‌های محاسبات در بخش مواد و روش‌ها ارائه و نتایج مورد بحث و ارزیابی قرار گرفته‌اند.



کمیت‌های دستور کار TG-43U1 به شرح زیر توصیف شده‌اند:

۱-۲ شدت کرمای هوا (Air Kerma Strength)

شدت کرمای هوا معیاری از شدت چشم‌برآکی تراپی است که بر حسب نرخ کرمای هوا در نقطه‌ای در راستای محور عمود بر چشم‌های آزاد مشخص می‌شود. این کمیت بصورت حاصلضرب نرخ کرمای هوا در فاصله سنج‌بندی d از چشم‌های آزاد (d) و محدود فاصله d تعریف می‌شود:

$$S_k = \dot{K}_\delta(d) d^2 \quad (3)$$

ناشی از فوتون‌های با انرژی بیشتر از δ (تقرباً ۵ keV) است که در فاصله‌ای بسیار بیشتر از طول چشم‌های $d \gg L$ حساب می‌شود. واحد S_k $\mu\text{Gy} \cdot \text{m}^3 \cdot \text{h}^{-1}$ یا $\text{cGy} \cdot \text{cm}^2 \cdot \text{h}^{-1}$ است که به آن U نیز می‌گویند.

۲-۲ ثابت نرخ دز (Dose Rate Constant)

ثابت نرخ دز، Λ ، به عنوان نسبت نرخ دز در محیط آب در فاصله یک سانتی‌متری روی محور عمود بر چشم‌های شدت کرمای هوا، تعریف می‌شود:

$$\Lambda = \frac{\dot{D}(r_0, \theta_0)}{S_k} \quad (4)$$

و $r_0 = 1 \text{ cm}$ و $\theta_0 = \frac{\pi}{2}$ مختصات نقطه مرجع یعنی $r = 1 \text{ cm}$ و $\theta = \frac{\pi}{2}$ واحد ثابت نرخ دز $U^{-1} \text{ cGy} \cdot \text{hr}^{-1}$ است.

۳-۳ تابع آرایش هندسی (Geometry Function)

این تابع برای درنظر گرفتن وابستگی شارش فوتون حول چشم‌های با فضای آزاد است. هنگامیکه توزیع پرتوزایی با فرض چشم‌های نقطه‌ای یا چشم‌های خطی به طول L نوشته شود، $G(r, \theta)$ بصورت زیر خواهد بود:

$$G(r, \theta) = \begin{cases} r^{-2} & \text{برای چشم نقطه‌ای} \\ \frac{\beta}{L r \sin \theta} & \text{برای چشم خطی} \end{cases} \quad (5)$$

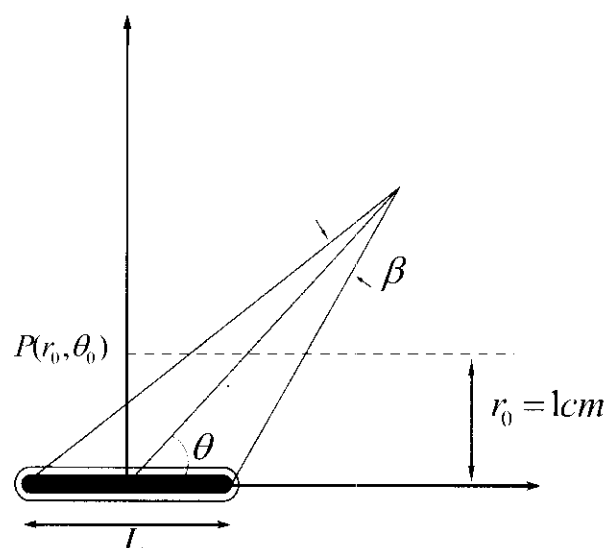
کمیت‌های روش سنتی برای محاسبه نرخ دز

$A_{app.}$	S_k
$(\Gamma_\delta)_x$	Λ
$(\frac{1}{r^2})$	$G(r, \theta)$
$T(r)$	$g(r)$
$\overline{\Phi}_{an}$	$F(r, \theta)$

یکی از مزیت‌های این دستور کار محاسبه دز در دو بعد است، در حالیکه در روش سنتی محاسبه دز فقط در یک بعد برای چشم‌های نقطه‌ای همسانگرد انجام می‌شود. برای محاسبه دز در دو بعد حول چشم‌های استوانه‌ای (شکل ۱) بر اساس دستور کار TG-43U1 داریم:

$$\dot{D}(r, \theta) = S_k \Lambda \frac{G(r, \theta)}{G(r_0, \theta_0)} g(r) F(r, \theta) \quad (2)$$

که در آن، $\dot{D}(r, \theta)$ فاصله نقطه دلخواه تا مرکز تقارن چشم‌های بر حسب سانتی‌متر، θ زاویه نسبت به محور طولی چشم‌های بر حسب رادیان، $r_0 = 1 \text{ cm}$ و $\theta_0 = \frac{\pi}{2}$ مختصات نقطه مرجع، L طول مؤثر چشم‌های بر حسب سانتی‌متر و β زاویه محصور بین ابتداء و انتهای طول مؤثر چشم‌های از نقطه دلخواه بر حسب رادیان است.



شکل ۱- هندسه در نظر گرفته شده در محاسبات دز.



تعريف آنها (روابط ۴، ۶ و ۷) حاصل شده‌اند. برای محاسبه S_k و $\dot{D}(r, \theta)$ بوسیله کد MCNP از تالی‌های F4 و F6 و F8* و برای G(r,θ) فقط از تالی F4 استفاده شده است.

۱-۳ توصیف چشم

$MED3631 - A/M^{125}I$ چشمه شبیه‌سازی شده از نوع $A/M^{125}I$ است. این چشمه بصورت کپسولی از جنس تیتانیوم است که قطرهای داخلی و خارجی آن به ترتیب 0.071 و 0.081 میلی‌متر است. ضخامت جوش‌های انتهایی کپسول معمولاً از 0.05 تا 0.15 میلی‌متر است؛ در اینجا، ضخامت متوسط 0.1 میلی‌متر در تمام محاسبات بکار برده شده است. طول این کپسول 0.2 ± 0.07 میلی‌متر (بطور اسمی $4/5$ میلی‌متر) است. چشمه شامل چهار کره رزین تبادل یونی از جنس پلی استرین و دو نشانگر رادیوگرافی (100 Drصد وزنی طلا و 200 Drصد وزنی مس) است که در مرکز آن قرار گرفته‌اند (شکل ۲). قطر همه کره‌ها و نشانگرها 0.056 ± 0.012 میلی‌متر و فاصله بین کره‌ها از هوا پر شده است. طیف انرژی فوتون‌های I^{125} در جدول ۱ مندرج است [۸]. ساخت چشمه‌ها به صورتی است که ماده پرتوزا بطوط یکنواخت در حجم هر یک از کره‌ها توزیع می‌شود.

۲-۳ روش محاسبات

محاسبات دزیمتری با استفاده از کد MCNP/4C انجام شده‌اند. نرخ دز " $\dot{D}(r, \theta)$ " و شدت کرمای هوا، S_k ، با استفاده از تالی‌های F6 و F8* و در مورد تالی F4 به همراه ضرایب تبدیل شارش به دز [10^{-1} ، حساب شده‌اند. در این کد از فایل‌های کتابخانه‌ای mcplib22 و e1032 به ترتیب برای سطح مقطع‌های فوتون و الکترون استفاده شده است. نرخ دز در

جدول ۱- انرژی و درصد فوتون‌ها به ازای هر واپاشی چشمه I^{125} .

فوتوون به ازای هر واپاشی (%)	انرژی فوتون (keV)
۴۰.۵	۲۷/۲۰۲
۷۵.۶	۲۷/۴۷۲
۲۰.۱	۳۰/۹۸۰
۴/۳۸	۳۱/۸۷۷
۶/۶۶	۳۵/۴۹۱۹

$G(r_0, \theta_0)$ تابع آرایش هندسی در نقطه مرجع است.

۳-۲ تابع دز شعاعی (Radial Dose Function)

در تابع دز شعاعی (g, r) ، اثرهای جذب و پراکنده‌گی فوتون‌ها را در محیط آب اطراف چشم، در امتداد محور عمود بر چشم در نظر می‌گیرند. این تابع بصورت زیر تعریف می‌شود:

$$g(r) = \frac{\dot{D}(r, \theta_0)G(r_0, \theta_0)}{\dot{D}(r_0, \theta_0)G(r, \theta_0)} \quad (6)$$

۳-۳ تابع ناهمسانگردی (Anisotropy Function)

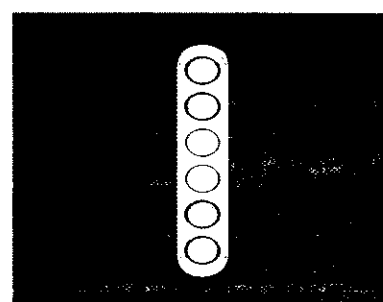
در تابع ناهمسانگردی (F, r, θ) ، ناهمسانگردی توزیع دز ناشی از اثرهای جذب و پراکنده‌گی در محیط آب اطراف چشم در نظر گرفته شده و بصورت زیر تعریف می‌شود:

$$F(r, \theta) = \frac{\dot{D}(r, \theta)G(r, \theta_0)}{\dot{D}(r, \theta_0)G(r, \theta)} \quad (7)$$

در این تحقیق پارامترهای Λ ، $G(r, \theta)$ و $F(r, \theta)$ با استفاده از روش‌های مختلف محاسبه دز به وسیله کد MCNP/4C برای چشمه I^{125} و مقایسه شده‌اند [۸].

۳- مواد و روش‌ها

پارامترهای دزیمتری برای چشم مورد نظر (شکل ۲) بر اساس روش مونت کارلو با استفاده از کد MCNP/4C حساب شده‌اند [۹]. ترتیب انجام محاسبات بدین گونه است که ابتدا پارامترهای اصلی S_k (به ازای یک ذره تابش شده از چشم)، $(\dot{D}(r, \theta)$ و $G(r, \theta)$ به دست آمده سپس پارامترهای $F(r, \theta)$ و $g(r, \theta)$ از روی نسبت‌های مختلف این پارامترها طبق



شکل ۲- هندسه ایده‌آل در نظر گرفته شده برای محاسبات به وسیله کد MCNP/4C



آرایش هندسی $G(r,\theta)$ نیز با استفاده از تالی F4 و با در نظر گرفتن محیط خلا، حساب شده است. همچنین به منظور مقایسه، تابع آرایش هندسی $G(r,\theta)$ ، از رابطه تحلیلی (۵) نیز به دست آمده است.

۴- یافته‌ها و نتایج

نتایج پارامترهای ذیمتری حساب شده در این کار پژوهشی، به همراه نتایج به دست آمده نظری آنها توسط Rivard [۹] (با خطای نسبی کمتر از ۰/۱ درصد) در جدول‌های ۲، ۳ و ۴ مندرج است. مدت اجرای محاسبات در این تحقیق با کامپیوتر P4 2.2 GHz برای رسیدن به خطای نسبی کمتر از ۰/۱ درصد به وسیله تالی‌های F4 و F6 برابر ۱۰ ساعت (تعداد تاریخچه‌های لازم حدود 2×10^8) و برای تالی F8* برابر با ۲۰۰ ساعت (تعداد تاریخچه‌های لازم حدود 2×10^9) است.

بطوری که در جدول‌های ۲، ۳ و ۴ مشاهده می‌شود، پارامترهای به دست آمده در این تحقیق اختلاف اندکی با مقادیر به دست آمده توسط Rivard دارند. این اختلاف در مورد نتایج مربوط به زاویه صفر درجه بزرگ‌تر است، که علت آن را می‌توان در کاهش آمار شمارش ذرات در آشکارساز فرضی جستجو کرد. دو دلیل اصلی کاهش آمار ذرات، مربوط به اثر خود جذبی ییشور پرتوها در امتداد محوری و کوچک بودن

فاصله‌های ۰/۲۵، ۰/۰۵، ۱، ۲، ۵ و ۱۰ سانتی‌متری و در زوایای صفر، ۳۰، ۶۰ و ۹۰ درجه درون حجم‌های (Cells) از آب، محصور به مخروط‌هایی با زاویه رأس یک درجه و پوسته‌های کروی به ضخامت ۱/۱ سانتی‌متر به دست آمده‌اند. ابتدا نرخ‌های دز به وسیله تالی F8* برای رسیدن به خطای ۰/۱ درصد اجرا شد. مدت اجرا با کامپیوتر P4 2.2GHz حدود ۲۰۰ ساعت بود. این مدت طولانی به دلیل پیچیدگی شبیه‌سازی تراپرداز الکترون‌ها با در نظر گرفتن جزئیات اندرکنش‌ها در محاسبات با تالی F8* است. به منظور کاستن مدت اجرای محاسبات، به نظر رسید که استفاده از تالی‌های F6 و F4 با توجه به ماهیت روش محاسباتی آنها، مناسب باشد. تالی F6 در حالت فوتونی، تخمین‌گر کرما است. بدینهی است، در شرایط تعادل الکترونی و ناچیزبودن تابش ترمزی، کرما تخمین بسیار خوبی برای دز جذبی خواهد بود.

تالی F4 تخمین‌گر شارش ذرات با استفاده از طول مسیر آنها در سلول است. اگر این تالی را به همراه کارتهای DE و DF که به ترتیب انرژی فوتون و ضرائب تبدیل شارش به دز در انرژی نظری است را به کار ببریم، دز جذبی حساب خواهد شد.

در محاسبه S_k فاصله سنجه‌بندی، d ، برابر ۱۰۰ سانتی‌متر است و نرخ کرما در این فاصله در سلولی از هوا، محصور به مخروطی با زاویه رأس ۱۰ درجه و پوسته کروی به ضخامت ۱ سانتی‌متر با تالی‌های F8*، F6 و F4 به دست آمد؛ تابع

جدول ۲ - تابع آرایش هندسی "G(r,θ)" چشمی MED3631 - A/M¹²⁵I با استفاده از کد MCNP و مقادیر نظری به دست آمده توسط Rivard و مقایسه آنها با روش تحلیلی (مقادیر داخل پرانتز میزان اختلاف را نسبت به نتایج تحلیلی بر حسب درصد نشان می‌دهد).

θ=۶۰			θ=۳۰			θ=۰			r (cm)
Analytic	Rivard	F4	Analytic	Rivard	F4	Analytic	Rivard	F4	
۱/۱۸۴	۱/۱۰۹ (-۰/۱)	۱/۱۶۳ (-۱/۸)	۱/۹۲۸	۲/۱۸۴ (+۱۳/۴)	۲/۲۰۰ (+۱۴/۴)	۷/۷۰۱	۰/۳۹۷ (-۱۵/۰)	۰/۶۷۹ (-۱۵/۲)	۰/۲۵
۳/۱۶۱×۱۰ ^{-۱}	۳/۱۵۸×۱۰ ^{-۱} (-۰/۱)	۳/۱۵۴×۱۰ ^{-۱} (-۰/۲)	۳/۶۳۴×۱۰ ^{-۱} (+۳/۹)	۳/۷۷۵×۱۰ ^{-۱} (+۴/۰)	۳/۷۷۹×۱۰ ^{-۱} (+۴/۰)	۳/۹۹۱×۱۰ ^{-۱} (+۰/۶)	۴/۲۱۴×۱۰ ^{-۱} (+۰/۶)	۴/۳۱۹×۱۰ ^{-۱} (+۸/۲)	۰/۵۰
۷/۹۵۴×۱۰ ^{-۲}	۷/۹۰۰×۱۰ ^{-۲} (-۰/۰۵)	۷/۹۴۷×۱۰ ^{-۲} (-۰/۰۹)	۸/۲۳۰×۱۰ ^{-۲} (+۱/۰)	۸/۳۱۶×۱۰ ^{-۲} (+۰/۹)	۸/۳۰۱×۱۰ ^{-۲} (+۰/۹)	۸/۴۸۲×۱۰ ^{-۲} (+۱/۶)	۸/۵۱۵×۱۰ ^{-۲} (+۱/۶)	۸/۴۲۵×۱۰ ^{-۲} (-۰/۰۷)	۱/۰۰
۱/۹۸۹×۱۰ ^{-۲}	۱/۹۸۴×۱۰ ^{-۲} (۰)	۱/۹۸۷×۱۰ ^{-۲} (-۰/۱)	۲/۰۰۶×۱۰ ^{-۲} (+۰/۲)	۲/۰۱۱×۱۰ ^{-۲} (+۰/۲)	۲/۰۱۴×۱۰ ^{-۲} (+۰/۷)	۲/۰۱۰×۱۰ ^{-۲} (+۰/۴)	۲/۰۲۳×۱۰ ^{-۲} (+۰/۴)	۲/۰۲۰×۱۰ ^{-۲} (۰/۳/۰)	۲/۰۰
۳/۱۸۳×۱۰ ^{-۲}	۳/۱۸۴×۱۰ ^{-۲} (۰)	۳/۱۸۴×۱۰ ^{-۲} (+۰/۰۳)	۳/۱۸۷×۱۰ ^{-۲} (+۰/۰۶)	۳/۱۸۹×۱۰ ^{-۲} (+۰/۰۶)	۳/۱۸۷×۱۰ ^{-۲} (+۰)	۳/۱۹۰×۱۰ ^{-۲} (+۰/۱)	۳/۱۹۳×۱۰ ^{-۲} (+۰/۱)	۳/۲۸۱×۱۰ ^{-۲} (۰/۲/۰)	۵/۰۰
۷/۹۵۸×۱۰ ^{-۴}	۷/۹۵۸×۱۰ ^{-۴} (۰)	۷/۹۵۹×۱۰ ^{-۴} (-۰/۲)	۷/۹۶۰×۱۰ ^{-۴} (-۰/۰۲)	۷/۹۵۸×۱۰ ^{-۴} (-۰/۰۲)	۷/۹۴۷×۱۰ ^{-۴} (-۰/۰۱)	۷/۹۶۲×۱۰ ^{-۴} (+۰/۰۵)	۷/۹۶۶×۱۰ ^{-۴} (+۰/۰۵)	۸/۲۳۱×۱۰ ^{-۴} (۰/۳/۰)	۱۰/۰۰



جدول ۳ - تابع دز شعاعی و ثابت نرخ دز ، $g(r)$ و Λ ، چشمه $MED3631 - A/M^{125}I$ با استفاده از تالی های مختلف کد MCNP و مقایسه آنها با مقادیر نظری به دست آمده توسط Rivard [۹] (مقادیر داخل پرانتز میزان اختلاف را نسبت به نتایج Rivard بر حسب درصد نشان می دهد).

Rivard	$g(r)$		$r (cm)$	
Rivard	*F8		F6	
۰/۹۴۲	۰/۹۹۵ (+۰/۳)	۰/۹۹۸ (۰/۰/۱)	۱/۰۴۰ (+۷/۸)	۰/۲۵
۱/۰۱۰	۱/۰۲۱ (+۰/۷)	۱/۰۲۱ (+۰/۷)	۱/۰۴۶ (-۰/۳/۰)	۰/۵۰
۱/۰۰۰	۱/۰۰۰	۱/۰۰۰	۱/۰۰۰	۱/۰۰
۰/۸۸۳	۰/۸۸۷ (+۰/۴)	۰/۸۸۴ (+۰/۱)	۰/۸۷۰ (-۲/۶)	۲/۰۰
۰/۴۴۶	۰/۴۶۶ (+۴/۰)	۰/۴۶۶ (+۴/۰)	۰/۴۴۲ (-۴/۱)	۵/۰۰
۰/۱۲۱	۰/۱۲۰ (-۰/۸)	۰/۱۲۰ (-۰/۸)	۰/۱۱۶ (-۴/۱)	۱۰/۰۰
۱/۰۶۷	۱/۱۱۸ (+۴/۸)	۱/۱۲۱ (-۰/۱)	۱/۰۵۲ (-۱/۴)	

جدول ۴ - تابع ناهمسانگردی " $F(r,\theta)$ " چشمه $MED3631 - A/M^{125}I$ با استفاده از تالی های مختلف کد MCNP و مقایسه آنها با مقادیر نظری به دست آمده توسط Rivard [۹] (مقادیر داخل پرانتز میزان اختلاف را نسبت به نتایج Rivard بر حسب درصد نشان می دهد).

$\theta = ۶۰^{\circ}$	$\theta = ۳۰^{\circ}$	$\theta = ۰^{\circ}$	$r (cm)$									
Rivard	*F8	F6	F4	Rivard	*F8	F6	F4	Rivard	*F8	F6	F4	$r (cm)$
۰/۹۹۲	۰/۹۹۴ (۰/۰/۲)	۰/۹۸۹ (۰/۰/۳)	۰/۹۹۰ (۰/۰/۲)	۰/۹۳۴ (-۰/۰/۶)	۰/۹۴۷ (-۰/۰/۶)	۰/۹۲۸ (-۰/۰/۶)	۰/۹۳۷ (+۰/۰/۳)	۰/۸۲۴ (-۶/۰/۲)	۰/۷۷۳ (+۲/۰/۱)	۰/۸۴۱ (+۳/۰/۳)	۰/۸۵۱	۰/۲۵
۰/۹۸۲	۰/۹۸۰ (۰/۰/۳)	۰/۹۸۳ (-۰/۰/۱)	۰/۹۸۵ (-۰/۰/۳)	۰/۸۶۸ (-۰/۰/۲)	۰/۸۶۶ (-۰/۰/۲)	۰/۸۶۶ (+۰/۰/۱)	۰/۸۶۹ (+۰/۰/۱)	۰/۷۴۷ (-۰/۰/۷)	۰/۷۴۲ (-۰/۰/۷)	۰/۷۰۹ (-۰/۰/۱)	۰/۷۰۸ (-۰/۰/۲)	۰/۵۰
۰/۹۸۱	۰/۹۸۷ (۰/۰/۶)	۰/۹۸۲ (۰/۰/۱)	۰/۹۸۳ (۰/۰/۲)	۰/۸۷۳ (-۰/۰/۳)	۰/۸۷۰ (-۰/۰/۳)	۰/۸۶۷ (-۰/۰/۳)	۰/۸۶۵ (-۰/۰/۳)	۰/۷۸۲ (+۰/۰/۰)	۰/۷۱۶ (+۰/۰/۰)	۰/۷۹۲ (+۰/۰/۰)	۰/۷۶۲ (-۳/۰/۰)	۱/۰۰
۰/۹۸۴	۰/۹۷۸ (-۰/۰/۶)	۰/۹۸۱ (-۰/۰/۳)	۰/۹۸۰ (-۰/۰/۴)	۰/۸۸۹ (-۱/۰/۲)	۰/۸۷۲ (-۱/۰/۲)	۰/۸۷۴ (-۱/۰/۴)	۰/۸۷۱ (-۱/۰/۴)	۰/۷۷۲ (+۰/۰/۲)	۰/۷۰۰ (+۰/۰/۳)	۰/۷۷۰ (+۰/۰/۳)	۰/۶۴۹ (-۳/۰/۹)	۲/۰۰
۰/۹۸۴	۰/۹۸۰ (-۰/۰/۴)	۰/۹۸۰ (-۰/۰/۴)	۰/۹۸۲ (-۰/۰/۲)	۰/۸۹۸ (-۰/۰/۴)	۰/۸۹۴ (-۰/۰/۴)	۰/۸۹۰ (-۰/۰/۹)	۰/۸۸۷ (-۰/۰/۹)	۰/۷۲۱ (+۰/۰/۲)	۰/۷۶۶ (-۰/۰/۰)	۰/۷۱۰ (-۰/۰/۰)	۰/۷۰۵ (-۰/۰/۲)	۵/۰۰
۰/۹۷۲	۰/۹۷۵ (+۰/۰/۳)	۰/۹۸۷ (+۱/۰/۵)	۰/۹۹۱ (+۱/۰/۹)	۰/۸۹۴ (-۰/۰/۱)	۰/۸۹۳ (-۰/۰/۱)	۰/۹۰۱ (+۰/۰/۸)	۰/۹۰۰ (+۰/۰/۸)	۰/۷۸۶ (+۰/۰/۸)	۰/۷۴۴ (-۱۴/۰/۲)	۰/۷۴۴ (-۰/۵/۳)	۰/۷۰۰ (-۱۴/۰/۷)	۱۰/۰۰

بطوری که در جدول ۲ مشاهده می شود، پارامتر $G(r,\theta)$ حساب شده با کد MCNP و مقادیر نظری به دست آمده توسط Rivard [۹] توافق خوبی دارند (اختلاف کمتر از ۵ درصد) و هر دوی این مقادیر نسبت به مقادیر نظری محاسبه شده به روش تحلیلی در زوایای صفر و ۳۰° درجه در فاصله های نزدیک، میزان اختلاف بالای ۵ درصد را نشان می دهند. این اختلاف در فواصل نزدیک به چشمه ناشی از مبنای محاسبه در روش تحلیلی (براساس دستور کار TG-43U1) می باشد؛ زیرا در این روش محاسبات با فرض یک چشمه خطی با توزیع یکنواخت، صورت می گیرد (که با ساختار چشمه واقعی متفاوت است) و به همین دلیل، این مدل فقط در فواصل دور، که جزئیات درونی چشمه چندان در نتایج محاسبات مؤثر نبوده و چشمه به صورت

ابعاد آشکارساز فرضی حول زاویه صفر درجه است. نمونه ای از منحنی های $g(r)$ و $F(r,0)$ به ترتیب در شکل های ۴، ۳ و ۵ نشان داده شده است. همانطور که در این نمودارها مشاهده می شود، نتایج بدست آمده توافق خوبی را نسبت به نتایج Rivard نشان می دهند.

۵- بحث و نتیجه گیری

با توجه به اینکه تولید چشمه های کم انرژی براکی تراپی در آینده ای نه چندان دور برای درمان بیماران در کشور مورد استفاده قرار خواهد گرفت، با محاسبات ذزیمتری انجام یافته، مقدمات مشخصه یابی ذزیمتری اینگونه چشمه ها به منظور طراحی و کاربرد فراهم شده است.

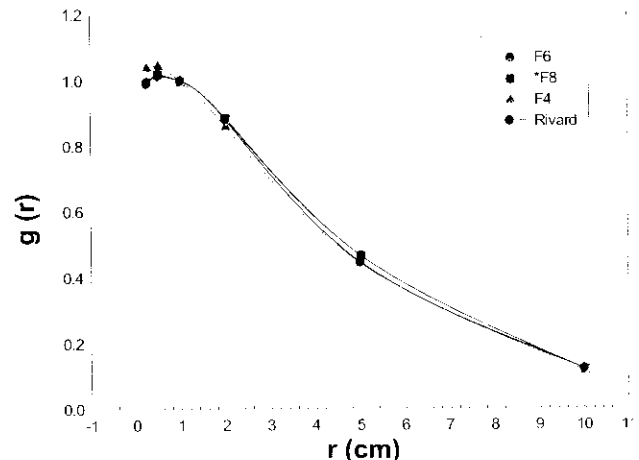


نقطه‌ای رفتار می‌کند، پاسخ‌های قابل قبولی را به دست می‌دهد.
 با توجه به جدول ۳، پارامترهای $r(r)$ و Λ توافق بسیار خوبی را با نتایج Rivard نشان می‌دهند و میزان اختلاف در تمام مقادیر کمتر از ۵ درصد می‌باشد. در جدول ۴ میزان اختلاف در مورد پارامتر $F(r, \theta)$ به جز در زاویه صفر درجه، نسبت به مقادیر نظر Rivard، کمتر از ۵ درصد است. علت اختلاف بالای ۵ درصد در رأسنای زاویه صفر درجه در این مورد، کاهش آمار شمارش ذرات ناشی از دو اثر خود جذبی بیشتر پرتوها و کوچک بودن حجم سلول (آشکارساز فرضی) است.

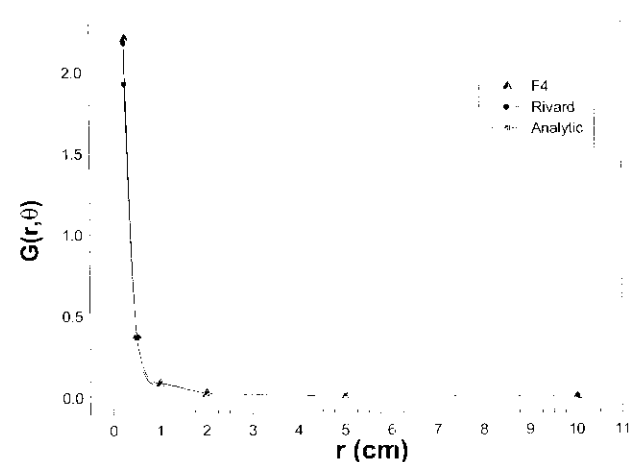
همچنین با توجه به مقایسه نتایج تالی‌های مختلف دز (F_4 , $*F_8$, F_6) از نظر دقت و سرعت محاسبات، می‌توان نتیجه گرفت که زمان اجرای تالی‌های F_4 و F_6 علاوه بر داشتن دقت قابل قبول، حدود ۲۰ برابر سریعتر از تالی $*F_8$ است که این نتیجه ممکن است در محاسبات متعدد لازم برای طراحی دقیق‌تر اینگونه چشم‌های، مورد استفاده قرار گیرد.

تشکر و قدردانی

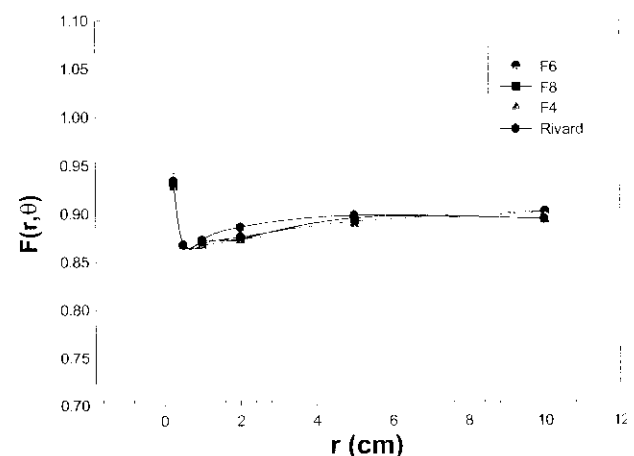
بدین وسیله بر خود لازم می‌دانیم از آقایان امیرحسین نوروزی و احسان حلاج فرد، که در این کار ما را یاری کرده‌اند، صمیمانه تشکر کنیم. همچنین از سرکار خانم لیلا محرومی نژاد که زحمت تایپ این مقاله را به عهده گرفته، سپاسگزاریم.



شکل ۳- نمودار تابع دز شعاعی "g(r)" بر حسب فاصله و مقایسه آنها با نتایج نظری بدست آمده توسط Rivard



شکل ۴- نمودار تابع آرایش هندسی "G(R,θ)" در زاویه ۳۰ درجه بر حسب فاصله و مقایسه آنها با نتایج نظری بدست آمده از روش تحلیلی و Rivard



شکل ۵- نمودار تابع ناهمسانگردی "F(r,θ)" در زاویه ۳۰ درجه بر حسب فاصله و مقایسه آنها با نتایج نظری بدست آمده توسط Rivard



References:

1. Y. Yu, L.L. Anderson, Z. Li, D.E. Mellenberg, R. Nath, M. Schell, F.M. Waterman, A. Wu, J.C. Blasko, "Permanent prostate seed implant brachytherapy: Report of the American Association of Physicists in Medicine Task Group Report No. 64," *Med. Phys.*, **26**, 2054–2076 (1999).
2. C. J. Mettlin, G. P. Murphy, D.S. Rosenthal, H.R. Menck, "The national cancer data base report on prostate carcinoma after the peak in incidence rates in the U.S.," *Cancer* **83**, 1679–1684 (1998).
3. H. Ragde, A-A.A. Elgamal, P.B. Snow, J. Brandt, A.A. Bartolucci, B.S. Nadir, L.J. Korb, "Ten-year disease free survival after transperineal sonography-guided iodine-125 brachytherapy with or without 45-gray external beam irradiation in the treatment of patients with clinically localized, low to high Gleason grade prostate carcinoma," *Cancer* **83**, 989–1001 (1998).
4. J.F. Williamson, "Dosimetric characteristics of the DraxImage Model LS-1 I-125 interstitial brachytherapy source design: A Monte Carlo investigation," *Med. Phys.*, **29**, 509–521 (2002).
5. C.C. Ling, M.C. Schell, E.D. Yorke, "Two-dimensional dose distribution of ^{125}I seeds," *Med. Phys.*, **12**, 652–655 (1985).
6. R.S. Sloboda and G.V. Menon, "Experimental determination of the anisotropy function and anisotropy factor for model 6711 I-125 seeds," *Med. Phys.*, **27**, 1789–1799 (2000).
7. M.J. Rivard, B.M. Coursey, L.A. DeWerd, W.F. Hanson, M. Saiful Huq, G.S. Ibbott, M.G. Mitch, R. Nath, J.F. Williamson, "Update of AAPM Task Group No. 43 Report: A revised AAPM protocol for brachytherapy dose calculations," *Med. Phys.*, **31(3)**, 633-674 (2004).
8. J.F. Briesmeister, Ed., "MCNP-A General Monte Carlo N-particle Transport Code, Version 4C", LA 13709-M (2000).
9. M. J. Rivard, "Monte Carlo Calculations of AAPM Task Group Report No.43 dosimetry parameters for the MED3631-A/M ^{125}I Source," *Med. Phys.*, **28**, 629-637 (2001).
10. ICRP No. 74, "Conversion coefficient for use in radiological protection against external radiation," ICRP and ICRU (1997).